

مطالعه بر هم کنش سیال و سازه به منظور بررسی اثرات جنس و ضخامت اجزای پره توربین بادی محور افقی سایز کوچک بر تغییر شکل پره

محمد حسین گیاهی¹، علی جعفریان دهکردی^{2*}

1- دانشجوی کارشناسی ارشد، مهندسی مکانیک، دانشگاه تربیت مدرس، تهران

2- استادیار، مهندسی مکانیک، دانشگاه تربیت مدرس، تهران

jafarian@modares.ac.ir، ۱۱۱-۱۴۱۱۵ *تهران، صندوق پستی

اطلاعات مقاله

مقاله پژوهشی کامل

دربافت: 26 آذر ۱۳۹۳

پذیرش: 02 اسفند ۱۳۹۳

ارائه در سایت: ۱۵ فروردین ۱۳۹۴

کلید واژگان:

توربین بادی محور افقی

آبرودینامیک

برهم کنش سازه و سیال

شیوه سازی عددی

اگریزی بادی در سال های اخیر در بین متابع تجدیدپذیر انرژی رشد قابل توجهی داشته است. با بزرگ شدن روز افرون توربین های بادی و افزایش طرفیت آنها، مساله برهم کنش سازه و سیال به موضوع مهمی در طراحی آنها بدل خواهد شد. در این پژوهش ابتدا اثرات سرعت باد و جنس اجزای سازنده پره بر بیزان تغییر شکل استاتیک پرهای یک توربین بادی محور افقی سایز کوچک با استفاده از شبیه سازی عددی بررسی شده است. مقادیر پارامترهای گشتاور شفت و گشتاور قلب پایه ای پره حاصل از شبیه سازی عددی تطابق خوبی را با مقادیر تجربی نشان می دهد. نتایج این پژوهش از افزایش جایجای نوک پره با افزایش سرعت باد حکایت دارد؛ با این حال شبب این افزایش در ناحیه ای با سرعت باد ۱۰ تا ۱۵ متر بر ثانیه به عمل و قوع پدیده ای جدایش در پره توربین، کاهش خواهد داشت. در ادامه اثر جنس مواد اجزای مختلف پرهی توربین بر تغییر شکل بررسی و ساختارهای با کمترین تغییر شکل تعیین شده اند. ضخامت اجزای مختلف پرهی توربین بادی با پوسته ای از جنس اپوکسی گلاس و اسپار و ریشه از جنس فیبر کربن با توجه به معیار شکست پیشنهاد کرنش به دست آمده است. ضخامت نهایی پوسته برابر ۲/۱ میلی متر، ضخامت اسپار برابر ۸/۲ میلی متر و ضخامت ناحیه ای ریشه برابر ۱۰ میلی متر محاسبه شده است.

FSI Simulation of a Small Size Horizontal Axis Wind Turbine to investigate the Effects of Blade Thickness and Material on Blade Deformation

Mohammad Hossein Giahi, Ali Jafarian Dehkordi *

Department of Mechanical Engineering, Tarbiat Modares University, Tehran, Iran
* P.O.B. 111-14115 Tehran, Iran, jafarian@modares.ac.ir

ARTICLE INFORMATION

Original Research Paper
Received 17 December 2014
Accepted 21 February 2015
Available Online 04 April 2015

Keywords:
Horizontal Axis Wind Turbine
Aerodynamics
Fluid Structure Interaction
Numerical Simulation

ABSTRACT

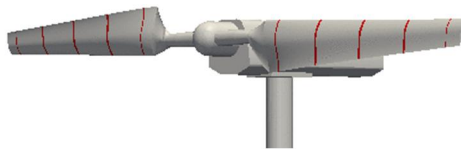
In recent years, wind energy experienced faster growth compared with the other renewable energies. The interaction between fluid and structure becomes more important as the wind turbine size and its power production capacity increases. In the present research, the effect of wind speed and blade materials on static deformation of a small size horizontal axis wind turbine blade is investigated. The shaft torque and root flap bending moment values obtained from simulation are in a good agreement with experimental data. Results demonstrated that the deformation of the blade increases as the wind speed grows, although the increase rate has declined in the mean wind speed range because of the occurrence of separation phenomenon on the blade surface. The effect of blade components materials on blade deformation was investigated and the least deformed configurations were introduced. The thickness of the designated blade components has been investigated by means of the maximum strain theory. The final thickness of the skin, spur and root was estimated by 2.1 mm, 2.8 mm and 10 mm respectively which are 30% less than the primary one.

۲۰ کیلوواتی در تونل باد ناسا به انجام رساندند. هدف از این آزمایش ها مطالعه رفتار آبرودینامیک توربین باد محور افقی به صورت سه بعدی و در ابعاد واقعی بوده است. نتایج این آزمایش ها مرجع خوبی برای صحت سنجی شبیه سازی های عددی شد. در سال ۲۰۰۵، تانگجی پاکدی و همکاران [۳]، شبیه سازی عددی جریان سه بعدی ویسکوز غیر دائم توربین باد نرل^۱ را انجام دادند. مقایسه نتایج حل عددی آن ها با نتایج تجربی نشان از تطابق در

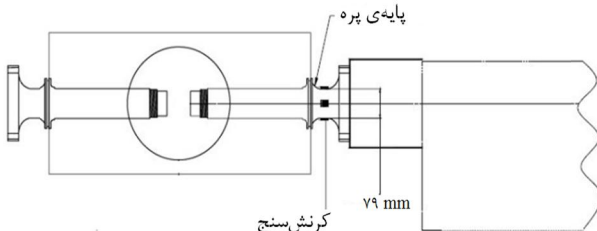
۱- National Renewable Energy Laboratory (NREL)

در سالیان اخیر با افزایش قیمت سوخت های فسیلی، استفاده از انرژی های تجدیدپذیر روندی افزایشی داشته است. از سال ۲۰۰۰ تا کنون تولید برق از توربین های بادی سالیانه ۲۵ درصد رشد داشته و این یعنی در هر سه سال، دو برابر شده است [۱]. جهت پیش بینی و جلوگیری از وقوع پدیده های مخرب، بررسی رفتار متقابل سازه و سیال ضروریست. در این راستا در سال ۲۰۰۱، هند و همکاران [۲] آزمایش های گستره ای بر روی یک توربین باد

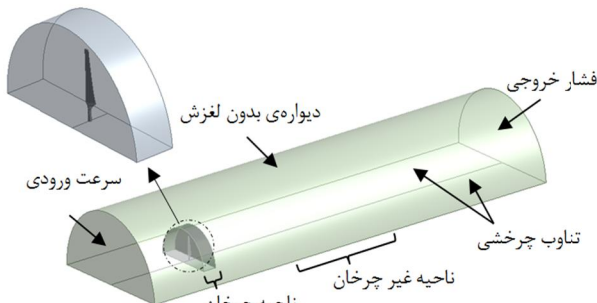
برای ارجاع به این مقاله از عبارت ذیل استفاده نمایید:



شکل 1 نمایی شماتیکی از توربین واقعی



شکل 2 محل نصب کرنش سنج در ریشه پره [2]



شکل 3 نمایش شرایط مرزی و نواحی میدان حل سیال

جدول 1 مشخصات هندسی پرهی مدل شده

| مشخصه هندسی | اندازه |
|----------------|--------------------------------------|
| طول پره | 5/03m |
| پروفیل ایرفویل | S809 |
| زاویه پیچش | از 20/04 در ریشه تا 1/78 در نوک |
| طول یال | از 73/7 cm در ریشه تا 35/8 cm در نوک |
| طول پایه پره | 66 cm |

جدول 2 فرض های به کار برده شده در تحلیل های سیال و سازه

| فرض | مشخصه |
|---------------|--|
| تحلیل سیال | جزیان پایا |
| تحلیل سازه | استاتیکی |
| ابعاد میدانها | میدان سیال سه بعدی، سازه پوسته دو بعدی |
| نوع برهم کنش | یک طرفه |

پوستهی پرهی توربین از جنس فایبر گلاس و اسپار آن از فیبر کربن تک جهته می باشد [2]. ریشهی پره توسط یک میلهی فولادی به هاب متصل است. بر روی این میلهی فولادی، چند حسگر کرنش³ قرار داده شده است. محل قرار گیری این کرنش سنجها در شکل 2 نمایش داده است.

برای شبیه سازی میدان حل سیال با توجه به حجم بالای عملیات عددی، تنها نیمی از میدان مدل شده و از شرط مرزی تناوب در مزهای برش استفاده شده است. میدان حل سیال به شکل یک نیم استوانه با شعاع سه برابر قطر روتور در نظر گرفته شده است. ورودی میدان به فاصله 2 برابر و خروجی آن به فاصله 8 برابر قطر روتور از صفحه دوران پره قرار گرفته اند. پرهی توربین در یک میدان چرخان به قطر 14 و ضخامت 3 متر قرار گرفته است. شکل 3 نمایی از میدان سیال و مزهای آن و جدول 2 فرض های به

3-Strain gauge

سرعت های بالا و پایین و عدم تطبیق مطلوب در سرعت های متوسط داشت [3]. در سال 2005 آهلستروم [4] یک مدل المان محدود جهت شبیه سازی پاسخ دینامیکی پرهی توربین بادی محور افقی توسعه داد. نتایج این پژوهش از اثرات غیر خطی شدید در سازه های پرهی یک توربین بادی دو مگاواتی زمانی که تغییر شکل تیغه های پره تحت بارهای وارده از 10 درصد شعاع پره تجاوز می کند حکایت داشتند. نورلین و همکاران [5] در سال 2012 مقایل سازه و سیال را برای یک پرهی توربین بادی 61/5 متری مطالعه نمودند. این پژوهشگران یک کد جهت تولید مدل المان محدود سازه های پرهی توربین باد توسعه دادند. نتایج تحلیل آن ها نشان داد که در سرعت های کمتر از 15 متر بر ثانیه تفاوت اندکی بین تحلیل بر هم کنش یک طرفه و دو طرفی سازه و سیال وجود دارد. رامدنی و همکاران [6] در سال 2012 از نرم افزار انسیس سی اف-ایکس¹ جهت مطالعه پدیده های ناپایداری و ایگرایی در یک ایرفویل دو بعدی استفاده نمودند. تطابق مطلوب نتایج این شبیه سازی دو بعدی با نتایج تجربی به عنوان عاملی امیدوار کننده در پیش بینی نتایج مطلوب رفتار پرهی توربین باد در حالت سه بعدی ارزیابی شده است. لی و همکاران [7] در سال 2012 یک روش تحلیلی برای ملاحظه بر هم کنش سازه و سیال با کوپل کردن روش ممنتم المان پره، نرم افزار ایکس-فویل² و تحلیل المان محدود راهه دادند. این پژوهشگران کاهش 17 درصدی توان تولیدی توربین باد در سرعت 25 متر بر ثانیه به خاطر اثرات سازه و سیال را گزارش کردند.

هدف از پژوهش حاضر تحلیل یک توربین بادی محور افقی به منظور بررسی اثرات جنس اجزای مختلف پره بر تغییر شکل و همچنین تعیین ضخامت مورد نیاز این اجزا با توجه به نیروهای وارده بر سازه های پره می باشد. بدین منظور ابتدا میدان سیال در هفت سرعت ورودی پروردی با استفاده از نرم افزار شبیه سازی عددی انسیس سی اف-ایکس حل شده است. نتایج حل میدان سیال سپس به بخش حل سازه نرم افزار انسیس منتقل شده؛ تغییر شکل استاتیکی، تنش و کرنش در اجزای مختلف سازه های پرهی توربین باد تحت اثر نیروهای آیرو دینامیکی، گرانشی و جانب مرکز حاصل از دوران پره به دست آمده است. در ادامه شش ترکیب بنده از مواد مختلف برای اجزای پره پیشنهاد، تغییر شکل استاتیکی پره در این ساختارها محاسبه و در انتهایها بهترین ساختار از بین این شش ساختار انتخاب شده است. در نهایت ضخامت اجزای مختلف پره با استفاده از معیار شکست بیشینه کرنش به دست آمده است.

2- مدل سازی هندسی، معادلات حاکم و روش حل عددی

توربین بادی شبیه سازی شده در این پژوهش، توربین بادی محور افقی 20 کیلوواتی نیل بوده که در تونل باد ناسا مورد مطالعه قرار گرفته است [2]. روتور این توربین دارای دو پره بوده و قطر آن برابر 10/06 متر می باشد. این روتور از یک ایرفویل یکسان در تمامی طول پره بهره می برد. روتور با سرعت دورانی 72 دور بر دقیقه دوران می کند. در این پژوهش تنها روتور توربین مدل شده و از سایر اجزای توربین شامل برج و ناسل صرف نظر شده است. جهت تحلیل میدان سیال، روتور به شکل یک حجم توخالی مدل شده است چون میدان سیال تنها دیوارهی جامد جسم را لمس می کند. با توجه به این که بخش پایه پره در شبیه سازی سیالاتی نقش کمزنگی ایفا می کند، در تولید هندسه ای این بخش ساده سازی صورت گرفته است. پره با استفاده از مقاطع متعدد ایرفویل دو بعدی در زوایای پیچش و طول یال مختلف و در نهایت اتصال این مقاطع به یکدیگر تولید شده است. جدول 1 مشخصات هندسی پره و شکل 1 نمایی شماتیکی از توربین واقعی را نمایش می دهد.

1-Ansys CFX

2-X-foil

جهت فایپرها در مواد تک جهته⁶ در راستای طول پره (راستای محور x) در شکل (4) باشد. بارهای وارد بر پره از نیروهای آبودینامیکی، نیروی گرانش حاصل از وزن و نیروی جانب مرکز حاصل از دوران پره تشکیل شده‌اند. شرط مرزی انتهای پره، تکیه‌گاه ثابت قرار داده شده است. رابطه‌ی (7) معادله‌ی کلی حاکم بر تحلیل استاتیکی خطی سازه را به نمایش می‌گذارد [10]:

$$[K]\{u\} = \{F^a\} + \{F^r\} \quad (7)$$

در این معادله $[K]$ ماتریس سختی کل، $\{u\}$ بردار جابجایی گره‌ها، $\{F^r\}$ بردار بارگذاری عکس‌العمل و $\{F^a\}$ بردار بارگذاری اعمالی است. سیستم معادلات خطی حاصل شده روش اجزای محدود سپس توسط روش تکاری حل شده و میزان جابجایی گره‌ها محاسبه می‌شود.

رابطه‌ی بین تنش و کرنش برای مواد همسان‌گرد⁷ معادلات (8) تا (13) خواهد بود.

$$\sigma_{xx} = \frac{E}{(1-2\nu)(1+\nu)} [(1-\nu)\varepsilon_{xx} + \nu\varepsilon_{yy} + \nu\varepsilon_{zz}] \quad (8)$$

$$\sigma_{yy} = \frac{E}{(1-2\nu)(1+\nu)} [\nu\varepsilon_{xx} + (1-\nu)\varepsilon_{yy} + \nu\varepsilon_{zz}] \quad (9)$$

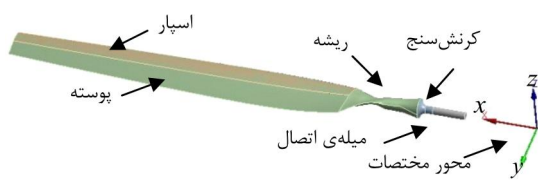
$$\sigma_{zz} = \frac{E}{(1-2\nu)(1+\nu)} [\nu\varepsilon_{xx} + \nu\varepsilon_{yy} + (1-\nu)\varepsilon_{zz}] \quad (10)$$

$$\tau_{xy} = G\gamma_{xy} \quad (11)$$

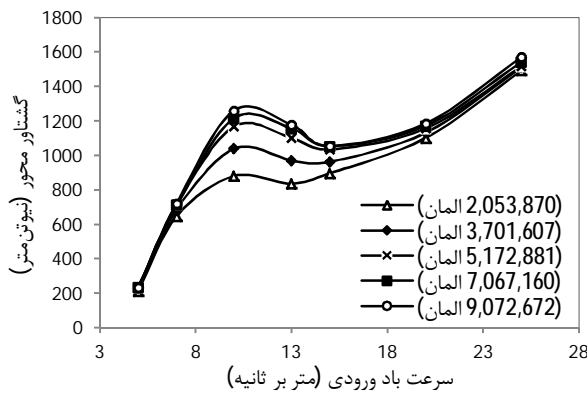
$$\tau_{yz} = G\gamma_{yz} \quad (12)$$

$$\tau_{xz} = G\gamma_{xz} \quad (13)$$

در این روابط، E مدول الاستیسیته، G مدول برشی و ν نسبت پواسون می‌باشد. برای مواد ناهمسان‌گرد⁸ روابط با مواد همسان‌گرد متفاوت خواهد بود. رابطه‌ی (14) معادله‌ی تنش-کرنش در دستگاه مختصات هم‌جهت با جهت‌های اصلی ماده‌ی ناهمسان‌گرد را نمایش می‌دهد. ثابت‌های موجود در این معادله که به مدول الاستیسیته، مدول برشی و ضریب پواسون وابسته‌اند نیز توسط معادله‌ی (15) قابل محاسبه‌اند [11].



شکل 4 سازه‌ی پره و اجزای تشکیل‌دهنده‌ی آن



شکل 5 گشتاور محور روتور به ازای سرعت‌های باد ورودی در پنج شیکه با تعداد المان‌های مختلف

6- Unidirectional
7- Isotropic
8- Orthotropic

کار برده شده در تحلیل میدان‌های سیال و سازه را نشان می‌دهد.

معادلات حاکم بر جریان سیال، معادلات متوسط‌گیری شده ناویر-استوکس¹ شامل معادلات پیوستگی و ممنتم می‌باشند (معادلات 1 تا 3). در این تحلیل سیال تراکمن‌پذیر در نظر گرفته شده است و لذا ترم جرم حجمی ρ از مشتق جزئی بیرون خواهد آمد.

$$\frac{\partial U_i}{\partial X_j} = 0 \quad (1)$$

$$\frac{\partial U_i}{\partial t} + U_i \frac{\partial U_i}{\partial X_j} = \frac{1}{\rho} \frac{\partial}{\partial X_j} (\tau_{ij}^{\text{eff}}) + G_i \quad (2)$$

$$\tau_{ij}^{\text{eff}} = -\rho \delta_{ij} + \mu \left(\frac{\partial U_i}{\partial X_j} + \frac{\partial U_j}{\partial X_i} \right) - \rho U'_i U'_j \quad (3)$$

در این معادلات، U بردار سرعت بوده، t معرف زمان و X بردار مکان است. ترم آخر در معادله‌ی (3) ترم تنش رینولدزی است که توسط مدل توربولانسی انتخاب شده مدل می‌شود. مدل توربولانسی استفاده شده در این پژوهش مدل $k-\omega$ می‌باشد [8] که معادلات پارامترهای انرژی جنبشی و فرکانس آشفتگی مربوطه به ترتیب مطابق روابط (4) و (5) خواهد بود.

$$\frac{D(\rho k)}{Dt} = P - \beta^* \rho \omega k + \frac{\partial}{\partial X_j} \left[\left(\mu + \sigma_k \frac{\rho k}{\omega} \right) \frac{\partial k}{\partial X_j} \right] \quad (4)$$

$$\frac{D(\rho \omega)}{Dt} = \frac{a\omega}{k} P - \beta \rho \omega^2 + \frac{\partial}{\partial X_j} \left[\left(\mu + \sigma_\omega \frac{\rho k}{\omega} \right) \frac{\partial \omega}{\partial X_j} \right] \quad (5)$$

در این معادلات، P نرخ تولید توربولانس بوده و $\alpha = 0/56$ ، $\beta^* = 0/09$ ، $\sigma_k = 2$ و $\sigma_\omega = 2$ مقادیر ثابت عددی هستند [9]. با محاسبه‌ی انرژی جنبشی و فرکانس توربولانس، ویسکوزیته اغتشاشی با استفاده از معادله‌ی (7) قابل محاسبه خواهد بود.

$$\mu_i = \rho \frac{k}{\omega} \quad (6)$$

از روش چهارچوب مرجع چندگانه² برای مدل‌سازی چرخش روتور استفاده شده است. از شبکه‌ی با سازمان بر روی صفحات روتور و از شبکه‌ی بی سازمان در سایر نواحی استفاده شده؛ نوع تحلیل جریان‌بایا، جریان سیال تراکمن‌پذیر و از سیال‌ها در دمای 25 درجه سانتی‌گراد و فشار مرجع 1 اتمسفر استفاده شده است. زاویه انحراف روتور برابر صفر درجه و زاویه‌ی گام برابر پنج درجه در نظر گرفته شده است. شرایط مرزی در ورودی، سرعت باد ورودی (هفت سرعت باد مختلف)، در خروجی، فشار نسبی صفر اتمسفر، در دیواره‌ی بیرونی و سطح پرهی روتور، شرط دیواره‌ی بدون لغزش و در مقطع برش میدان به دو نیمه، شرط تناوب چرخشی³ در نظر گرفته شده است.

برای مدل‌سازی بخش سازه، سازه‌ی پره به چهار بخش پوسته، اسپار، ریشه و میله‌ی اتصال ریشه به هاب تقسیم شده و برای سه بخش اول از المان پوسته⁴ استفاده شده است. شکل (4) نمایی از سازه‌ی پرهی مدل شده در نرمافزار را نشان می‌دهد. در مدل مورد بررسی در بخش اعتبارسنجی نتایج، جنس اجزای مختلف مطابق با جنس پرهی واقعی انتخاب شده است. پوسته‌ی پره از جنس فایبر‌گلاس، اسپار آن از جنس فیبرکربن و میله‌ی اتصال از جنس فولاد در نظر گرفته شده است. همچنین ضخامت پوسته، 3 میلی‌متر، ضخامت اسپار 4 میلی‌متر و ضخامت ریشه 15 میلی‌متر قرار داده شده است. استفاده از مواد مرکب⁵ به گونه‌ای است که

1- Reynolds-averaged Navier-Stokes (RANS)

2- Multiple Reference Frame

3- Rotational Periodicity

4- Shell

5- Composite

از روش بر هم کنش یک طرفه جهت محاسبه تغییر شکل پرہی توربین استفاده شده است. این روش زمانی از دقت لازم برخودار است که کوپلینگ بین دو میدان به طور عمده یک طرفه باشد، بدین معنی که یکی از میدان ها قویاً بر میدان دیگر تاثیر گذار بوده اما از آن تاثیر قابل توجهی نگیرد. در مورد مساله حاضر این شرط زمانی برقرار است که تغییر شکل سازه ای پرہ اندک بوده به طوری که این تغییر شکل بر نتایج حاصل از میدان سیال تاثیر گذار نباشد. در روش بر هم کنش یک طرفه، ابتدا معادلات حاکم بر میدان سیال به روش حجم محدود گستته و حل شده، مقدار سرعت و فشار در نقاط مختلف میدان محاسبه می شود. پس از آن فشار حاصل از حل میدان سیال در مرز مشترک بین سیال و جامد که همان دیواره پرہی توربین است به صورت بار فشاری به میدان سازه انتقال می یابد. این بار فشاری که از میدان سیال وارد شده است، سپس به همراه بارهای حاصل از وزن و دوران به سازه ای پرہ اعمال شده و تغییر شکل پرہ حاصل از این بارها به وسیله ای حل معادلات اجزای محدود محاسبه می گردد. تغییر شکل محاسبه شده در این روش، تغییر شکل استاتیکی پرہی توربین خواهد بود.

3- بررسی استقلال از شبکه و اعتبارسنجی نتایج
در ابتداء، عملیات استقلال از شبکه برای هر دو محیط سازه و سیال به طور جداگانه انجام شده است. در میدان سیال، گشتاور شفت حاصل از انتگرال گیری فشار وارده بر دیواره پرہ حول محور دوران روتور در هفت سرعت مختلف به دست آمده است. این پارامتر برای پنج شبکه با تراکم های مختلف محاسبه شده و در شکل 5 نمایش داده شده است. با توجه به نتایج شکل 5 می توان دید که اختلاف بین شبکه های با 7 و 9 میلیون المان اندک است، لذا شبکه محاسباتی با 7067160 المان انتخاب شده است. برای بررسی استقلال از شبکه سازه، مقدار جابجایی در نوک پرہ به ازای شبکه هایی با تراکم مختلف در سرعت 20 متر بر ثانیه محاسبه شده است.

از شبکه هایی با تعداد المان های 2778 تا 189882 استفاده شده و با توجه به تغییرات اندک (1/8 درصد) بین جابجایی نوک در شبکه بیان شده با تعداد المان 189882 و شبکه بیان شده با تعداد المان 46102 در نهایت شبکه بیان شده با 46102 برای حل سازه انتخاب شده است.

اعتبارسنجی کامل نتایج حل میدان سیال در مقایسه دیگری توسط نویسندها مقاله حاضر انجام گرفته است [8]. مقدار توان تولیدی به عنوان یک معیار نمونه برای صحبت سنجی نتایج حل میدان سیال انتخاب شده است. مقدار توان به دست آمده از شبیه سازی با استفاده از شبکه می تواند به دست آمده در بخش 1-3 به همراه نتایج تجربی، در شکل 6 نمایش داده شده است. همان طور که از نتایج این نمودار مشخص است، مقدار میانگین خطای ازای هفت سرعت و روودی مختلف، کمتر از 10 درصد است و توان تولیدی روتور حاصل از شبیه سازی عددی، تطابق خوبی با نتایج تجربی دارد. همچنین برای صحبت سنجی نتایج حل سازه، پارامتر گشتاور فلپ در ریشه هی پرہ مورد استفاده قرار گرفته است [14]. گشتاور فلپ با استفاده از کرنش سنج نصب شده در پایه هی پرہ (شکل 2) و با استفاده از معادلات (16) و (17) به دست آمده است. مقدار کرنش از طریق روابط کرنش- جابجایی با مقدار جابجایی رابطه خواهد داشت. بنابراین برابری گشتاور فلپ و در نتیجه برابری مقدار کرنش به دست آمده در روش عددی با آزمایش تجربی، صحبت مقدار جابجایی و تغییر شکل پرہ را نتیجه خواهد داد. مقدار گشتاور در پایه هی پرہ، در شکل 7 نمایش داده شده که نمایانگر صحبت نتایج شبیه سازی بخش سازه می باشد.

$$\begin{bmatrix} \sigma_1 \\ \sigma_2 \\ \sigma_3 \\ \tau_{23} \\ \tau_{31} \\ \tau_{12} \end{bmatrix} = \begin{bmatrix} C_{11} & C_{12} & C_{13} & 0 & 0 & 0 \\ C_{12} & C_{22} & C_{23} & 0 & 0 & 0 \\ C_{13} & C_{23} & C_{33} & 0 & 0 & 0 \\ 0 & 0 & 0 & C_{44} & 0 & 0 \\ 0 & 0 & 0 & 0 & C_{55} & 0 \\ 0 & 0 & 0 & 0 & 0 & C_{66} \end{bmatrix} \begin{bmatrix} \varepsilon_1 \\ \varepsilon_2 \\ \varepsilon_3 \\ \gamma_{23} \\ \gamma_{31} \\ \gamma_{12} \end{bmatrix} \quad (14)$$

$$\begin{aligned} C_{11} &= \frac{1 - \nu_{23} \nu_{32}}{E_2 E_3 \Delta} \\ C_{22} &= \frac{1 - \nu_{13} \nu_{31}}{E_1 E_3 \Delta} \\ C_{33} &= \frac{1 - \nu_{12} \nu_{21}}{E_1 E_2 \Delta} \\ C_{12} &= \frac{\nu_{12} + \nu_{32} \nu_{13}}{E_1 E_3 \Delta} \\ C_{23} &= \frac{\nu_{23} + \nu_{21} \nu_{13}}{E_1 E_2 \Delta} \\ C_{13} &= \frac{\nu_{13} + \nu_{12} \nu_{23}}{E_1 E_2 \Delta} \\ C_{44} &= G_{23} \\ C_{55} &= G_{31} \\ C_{66} &= G_{12} \\ \Delta &= \frac{1 - \nu_{12} \nu_{21} - \nu_{23} \nu_{32} - \nu_{31} \nu_{13} - 2 \nu_{21} \nu_{32} \nu_{13}}{E_1 E_2 E_3} \end{aligned} \quad (15)$$

گشتاور فلپ پایه هی پرہ در محل نصب حسگر کرنش (شکل 4) با استفاده از معادلات (16) و (17) قابل محاسبه خواهد بود.

$$\sigma = \sigma_{xx} - \frac{mr\omega^2}{A} \quad (16)$$

$$M = \frac{l\sigma}{y} \quad (17)$$

که در آن m جرم پرہ، r مرکز جرم آن، ω سرعت دوران روتور، A سطح مقطع پایه هی پرہ (میله فولادی) و l گشتاور دوم سطح مقطع پایه می باشد.

همانند مواد همسانگرد، برای مواد ناهمسانگرد نیز معیارهای طراحی متفاوتی وجود دارد. یکی از پر کاربرد ترین و در عین حال ساده ترین معیارهای طراحی، معیار شکست بیشینه مقدار کرنش می باشد [12]. بر اساس این تئوری، شکست زمانی اتفاق می افتد که کرنش در یکی از جهت های اصلی ماده (با توجه به جهت چیدمان فایبرها) از کرنش نهایی مربوطه بیشتر شود [13]. به طور مثال برای کرنش در جهت x و صفحه xy در شکل 4 باستی روابط (18) و (19) برقرار باشد.

$$-\varepsilon_{Lc} < \varepsilon_{xx} < \varepsilon_{Lt} \quad (18)$$

$$-\gamma_{LT} < \gamma_{xy} < \gamma_{LT} \quad (19)$$

در این روابط، ε_{Lc} و ε_{Lt} به ترتیب بیانگر کرنش نهایی فشاری و کشنشی در جهت فایبرها و γ_{LT} بیانگر کرنش برشی نهایی در صفحه xy است. همچنین مقادیر ε_{xx} و γ_{xy} به ترتیب برابر کرنش عمودی در جهت قرار گیری فایبرها، و کرنش برشی در صفحه xy می باشند [13]. برای کرنش های کشنشی، فشاری و برشی در سایر جهت ها نیز روابط مشابه وجود دارد.

4- نتایج و بحث

4-1- بررسی اثر سرعت باد بر تغییر شکل پره

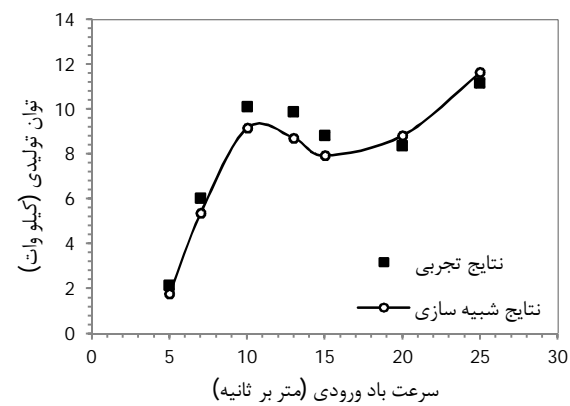
شکل 8 میزان جابجایی نوک پره به ازای سرعتهای باد ورودی مختلف را نشان می‌دهد. با توجه به این نمودار می‌توان دید که جابجایی در نوک پره در سرعتهای زیر 10 متر بر ثانیه، روند افزایشی را دنبال می‌کند. بین سرعت 10 تا 15 متر بر ثانیه، شبیط کاهش پیدا کرده و برای سرعتهای بالاتر از 20 متر بر ثانیه دواره روند افزایش شتاب می‌گیرد. دلیل این امر را می‌توان در رژیم حاکم بر جریان جستجو کرد. در سرعتهای زیر 10 متر بر ثانیه، جریان به صورت کاملاً چسبیده در تمام طول روتور بوده و لذا نیروی برآ با افزایش سرعت افزایش خواهد داشت. با افزایش شکل نوک پره افزایش خواهد داشت. نیروی وارد بر پره افزایش یافته و تغییر شکل نوک پره افزایش خواهد داشت. با افزایش سرعت به مقادیر بیش از 10 متر بر ثانیه، جدایش جریان از سمت ریشه‌ی پره آغاز شده و به تدریج به سمت نوک پره سرایت خواهد کرد. جدایش جریان باعث واماندگی پره و در نتیجه کاهش نیروی برآی تولیدی در نواحی جدا شده خواهد شد و لذا روند افزایشی جابجایی نوک پره، شبیط ملایم‌تری به خود خواهد گرفت. با افزایش سرعت به مقادیر بیش از 20 متر بر ثانیه، جدایش در طول کل گسترش یافته و کل تیغه در حالت واماندگی قرار می‌گیرد. در این حالت با افزایش سرعت، نیروهای وارد بر پره افزایش یافته و به تبع آن جابجایی نوک پره افزایش خواهد داشت.

4-2- بررسی اثر جنس مواد مورد استفاده در اجزا بر تغییر شکل پره

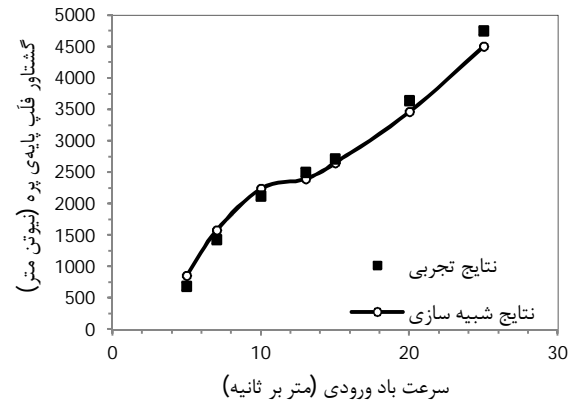
تغییر شکل پرهی توربین بادی از نظر آبرودینامیکی پدیده‌ی نامطلوبی به حساب می‌آید [15]. اثرات میدان سیال بر سازه‌ی پره باعث اعمال نیروهای آبرودینامیکی بر سازه، ایجاد تنفس و احتمال وقوع شکست در سازی پره خواهند شد. به بیان دیگر، در صورتی که جنس و ضخامت مواد مورد استفاده در سازه‌ی پره به درستی انتخاب نشده باشد، پره دچار شکست خواهد شد. در این بخش، بررسی اثر جنس مواد مورد استفاده در ساختار اجزای مختلف پره بر تغییر شکل آن مورد توجه است. از چهار ماده‌ی مختلف جهت تولید پره‌ها استفاده شده است. مشخصات مکانیکی این مواد در جدول 3 قابل مشاهده است. پرهی توربین به سه بخش روکش (پوسته) پره، اسپار و ریشه تقسیم شده است. شکل‌دهی ساختارهای مختلف پره با استفاده از مواد اشاره شده در جداول 3 ممکن می‌باشد؛ با این حال شش ترکیب مختلف برای پره پیشنهاد شده و تغییر شکل هر یک به دست آمده است.

این ترکیب‌ها در جدول 4 نمایش داده شده‌اند. با توجه به این که بیشترین تنفس توسط ریشه‌ی پره تحمل می‌شود، مستحکم‌ترین ماده در بخش ریشه استفاده شده است. پس از آن اسپار پره وظیفه‌ی تحمل بار را بر عهده خواهد داشت و لذا ماده‌ی مورد استفاده در آن از ماده‌ی مورد استفاده در پوسته پره مستحکم‌تر انتخاب شده است.

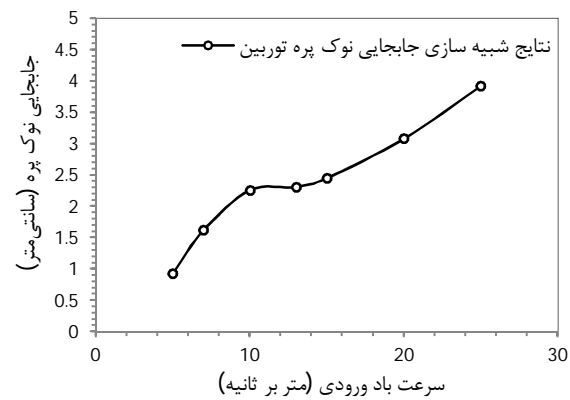
هر یک از این ساختارهای پره، در هفت سرعت ورودی متفاوت شیبیه‌سازی شده‌اند. شکل 9 میزان جابجایی نوک پرهی توربین را بر حسب سرعت باد ورودی نشان می‌دهد. با توجه به شکل 9 می‌توان دریافت که بیشترین مقدار تغییر شکل پره در ساختار 4 (همه‌ی اجزای پره از جنس اپوکسی گلاس) رخ داده است. همچنین کمترین مقدار تغییر شکل در ساختار 1 (کلیه اجزای پره از جنس فیبرکربن) اتفاق افتاده؛ با این حال تغییر شکل پره‌های با ساختار 2 (پوسته از جنس اپوکسی گلاس، ریشه و اسپار از جنس فیبرکربن) و ساختار 6 (کل پره از جنس آلومینیوم) نیز بسیار نزدیک به ساختار 1 می‌باشد.



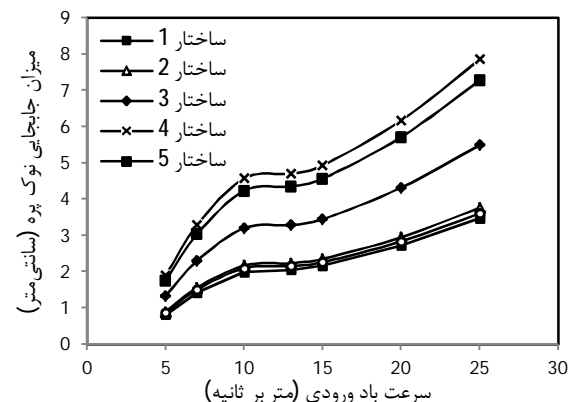
شکل 6 توان تولیدی روتور به ازای سرعت باد ورودی



شکل 7 گشتاور فلپ پایه‌ی پره به ازای سرعت باد مختلف



شکل 8 جابجایی نوک پره به ازای سرعت باد ورودی



شکل 9 جابجایی نوک پره به ازای سرعتهای ورودی مختلف در شش ساختار ارائه شده در جدول 4

| جدول ۳ مشخصات مکانیکی مواد مورد استفاده در ساختار پره [10] | | | | | |
|--|--------|---------------------------|---------------------------|-------------------------------|------------------------|
| | | فیبرکربن پیش آغشته تک جهت | فیبرکربن پیش آغشته تک جهت | مشخصات ماده | |
| 2770 | 2000 | 1480 | 1420 | جرم حجمی kg/m ³ | |
| | 45000 | 91820 | 61340 | جهت x | مدول الاستیسیته MPa |
| 71000 | 10000 | 91820 | 61340 | جهت y | |
| | 10000 | 9000 | 6900 | جهت z | |
| | 5000 | 19500 | 19500 | جهت xy | |
| 26692 | 3846 | 3000 | 2700 | جهت yz | مدول برشی Mpa |
| | 5000 | 3000 | 2700 | جهت xz | |
| | 0/3 | 0/027 | 0/27 | جهت xy | |
| 0/33 | 0/4 | 0/4 | 0/4 | جهت yz | ضریب پواسون |
| | 0/3 | 0/27 | 0/27 | جهت xz | |
| | 0/0244 | 0/0092 | 0/0167 | جهت x | |
| - | 0/0035 | 0/0031 | 0/0032 | جهت y | حد بیشینه |
| | 0/0035 | 0/0031 | 0/0032 | جهت z | کرنش کششی |
| | 0/016 | 0/016 | 0/012 | جهت xy | |
| - | 0/012 | 0/012 | 0/011 | جهت yz | حد بیشینه |
| | 0/016 | 0/016 | 0/012 | جهت xz | کرنش برشی |

بودن اپوکسی گلاس نسبت به فیبرکربن، از هزینه‌های تولیدی پره نیز خواهد کاست. در ادامه ضخامت لازم برای مواد برای ساختار ۲ با توجه به معیار شکست بیشینه انرژی کرنش که در بخش ۲-۲ توضیح داده شد تعیین شده است. بدین منظور از ضخامت بخش‌های مختلف پره (پوسته، ریشه و اسپار) در هر مرحله به مقدار ۱۰٪ ضخامت اولیه‌ی پره کاسته شده، بیشینه کرنش پدید آمده در هر جزء به دست آمده و از نظر معیار شکست مورد بررسی قرار گرفته است. این کار تا زمانی که بیشینه کرنش حاصل شده در یکی از اجزاء از حد مجاز آن فراتر رود ادامه یافته است. شکل‌های ۱۰ و ۱۱ به ترتیب مقدار کرنش کششی و برشی در اجزای مختلف پره را به ازای ضخامت‌های مختلف نشان می‌دهند.

همان‌طور که از نتایج شکل ۱۰ برمی‌آید، با کاهش ضخامت اجزای مختلف پره، مقدار بیشینه کرنش کششی افزایش خواهد داشت. با کاهش ضخامت اجزای مختلف به نصف مقدار اولیه، بیشینه کرنش در اسپار پره در جهت z از مقدار بیشینه کرنش قابل تحمل (جدول ۳) بالاتر خواهد رفت و ماده در ناحیه‌ی بیشینه کرنش دچار شکست خواهد شد. همچنین شکل ۱۱ کرنش برشی را در راستای صفحات مختصات برای اجزای مختلف پرهی توربین نشان می‌دهد. نتایج این نمودار نیز از افزایش کرنش برشی با کاهش ضخامت اجزا حکایت دارد با این حال بیشینه کرنش برشی در اجزا تا محدوده‌ی کاهش ضخامت بررسی شده، از بیشینه کرنش قابل تحمل ماده فراتر نرفته است و لذا کرنش بحرانی که محدود کننده کاهش ضخامت اجزای پره است، کرنش کششی در جهت محور z (راستای ضخامت ماده) در اسپار خواهد بود. برای بیشینه کرنش فشاری در اجزا نیز نمودارهای مشابه شکل ۱۰ به دست آمده و این پارامتر نیز مانند کرنش برشی با کاهش ضخامت پره از حد مجاز شکست فراتر نرفته است.

نکته‌ی قابل توجه دیگر در شکل ۱۰، تغییرات غیرخطی کرنش با کاهش ضخامت پره به مقادیر کاهش بیش از ۰/۳ ضخامت اولیه است. با توجه به اینکه مواد استفاده شده در ناحیه‌ی الاستیک رفتاری خطی دارد، تغییرات غیرخطی کرنش با کاهش ضخامت پره نشان از اثرات غیرخطی هندسی دارد. همچنین این نمودار نشان می‌دهد که این اثرات غیرخطی هندسی با افزایش تغییر شکل پره افزایش خواهند داشت.

برای انتخاب نهایی ضخامت پره، بایستی ضریب اطمینان مناسبی نیز

جدول ۴ ساختارهای مختلف تعریف شده در تولید پرهها

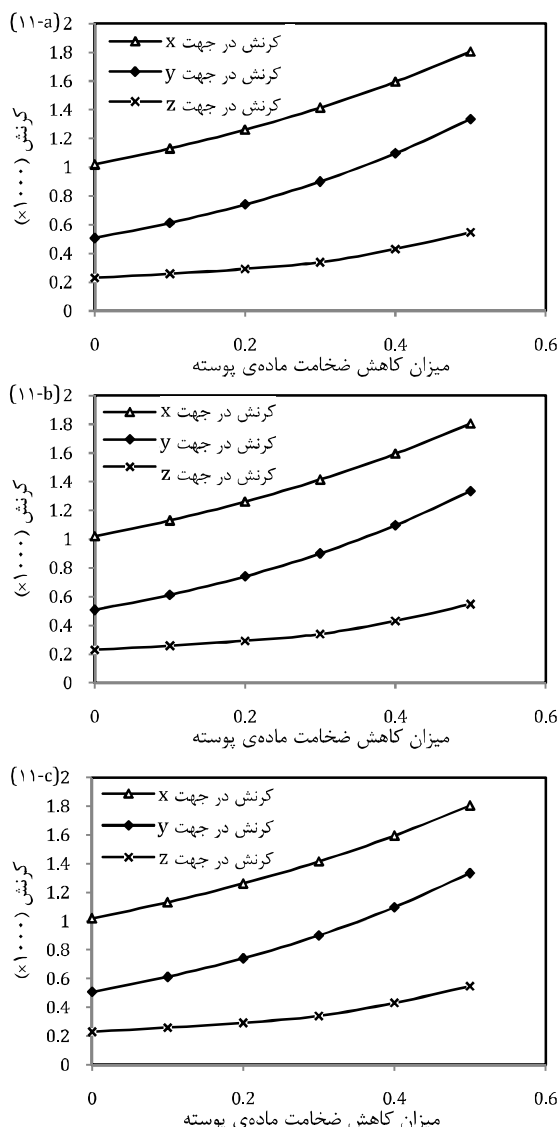
| ساختارهای مختلف | پوسه‌ی پره | اسپار | ریشه‌ی پره | ساختار (۱) | فیبرکربن 230 GPa | فیبرکربن 230 GPa | فیبرکربن 230 GPa |
|-----------------|------------|-------------|------------|------------|------------------|------------------|------------------|
| ساختار (۲) | | اپوکسی گلاس | | ساختار (۲) | فیبرکربن 230 GPa | فیبرکربن 230 GPa | فیبرکربن 230 GPa |
| ساختار (۳) | | اپوکسی گلاس | | ساختار (۳) | اپوکسی گلاس | فیبرکربن 230 GPa | فیبرکربن 230 GPa |
| ساختار (۴) | | اپوکسی گلاس | | ساختار (۴) | اپوکسی گلاس | اپوکسی گلاس | اپوکسی گلاس |
| ساختار (۵) | | اپوکسی گلاس | | ساختار (۵) | اپوکسی گلاس | آلومینیوم | آلومینیوم |
| ساختار (۶) | | اپوکسی گلاس | | ساختار (۶) | آلومینیوم | آلومینیوم | آلومینیوم |

جدول ۵ وزن سازه‌ی پره در ساختارهای مختلف

| ساختارهای مختلف | وزن سازه‌ی پره (kg) |
|-----------------|---------------------|
| ساختار (۱) | 51 |
| ساختار (۲) | 59 |
| ساختار (۳) | 64 |
| ساختار (۴) | 68 |
| ساختار (۵) | 76 |
| ساختار (۶) | 94 |

با توجه به شکل ۹ می‌توان نتیجه گرفت در صورتی که ملاحظات اقتصادی مد نظر نباشد، بهترین ساختار پره در بین ساختارهای پیشنهاد شده از نظر مقاومت در برابر تغییر شکل، تولید کلیه اجزای پره از جنس فیبرکربن است. جدول ۵ وزن سازه‌ی پره را در ساختارهای مختلف بررسی شده نشان می‌دهد.

جدول ۵ کمترین مقدار وزن سازه را در ساختار ۱ (پرهی فیبرکربنی) و بیشترین مقدار آن را در ساختار ۶ (پرهی آلومینیومی) نشان می‌دهد. وزن زیاد سازه‌ی پرهی توربین باد عامل نامطلوبی است چون علاوه بر نیاز به طراحی استانداری مقاومت اجزای نگهدارنده روتور مانند شفت، باعث ایجاد پدیده‌ی خستگی حاصل از نیروهای متناوب گرانشی اعمال شده بر روی پره خواهد شد؛ لذا اگر چه پرهی با ساختار آلومینیومی، از نظر میزان تغییر شکل ساختار مطلوبی به نظر می‌رسد، وزن تقریباً دو برابر آن نسبت به ساختار فیبرکربنی به عنوان عاملی نامطلوب ارزیابی می‌گردد. از بین شش ساختار بررسی شده، به نظر می‌رسد، بهترین حالت ساختار ۲ (پوسه از جنس اپوکسی گلاس، ریشه و اسپار از جنس فیبرکربن) باشد؛ چون علاوه بر تغییر شکل انداز و وزن پایین، با توجه به ارزان‌تر



شکل 11 کرنش برشی در پوسته (11-a)، ریشه (11-b) و اسپار (11-c) به ازای ضخامت‌های مختلف

نتایج حاصل از شبیه‌سازی هر دو بخش میدان سیال و سازه، تطابق خوبی با نتایج تجربی داشتند. نتایج این تحقیق نشان از افزایش تغییر شکل پرهی توربین با افزایش سرعت باد داشت، با این حال شب این افزایش در سرعت‌های میانی کم می‌باشد. در ادامه شش ساختار برای جنس اجزای مختلف پره پیشنهاد و ساختارهای با کمترین تغییر شکل پره معرفی شده‌اند. در انتها ضخامت اجزای مختلف با توجه به ضریب اطمینان اعمالی برابر 70% در انتها ضخامت اولیه آنها به دست آمده است.

6- مراجع

- [1] G. W. E. Council, Global Wind Report 2011-annual market update, 2012.
- [2] M. M. Hand, D. Simms, L. Fingersh, D. Jager, J. Cotrell, S. Schreck, S. Larwood, Unsteady Aerodynamics Experiment Phase VI: Wind Tunnel Test Configurations and Available Data Campaigns, National Renewable Energy Laboratory, Colorado, 2001.
- [3] C. Tongchitpakdee, S. Benjanirat, L. N. Sankar, Numerical simulation of the aerodynamics of horizontal axis wind turbines under yawed flow conditions, Transactions-American Society Of Mechanical Engineers Journal Of Solar Energy Engineering, Vol. 127, No. 4, pp. 464-474, 2005.
- [4] A. Ahlström, Aeroelastic simulation of wind turbine dynamics, PhD Thesis, Department of Mechanics, Royal Institute of Technology Stockholm, Stockholm, Sweden, 2005.

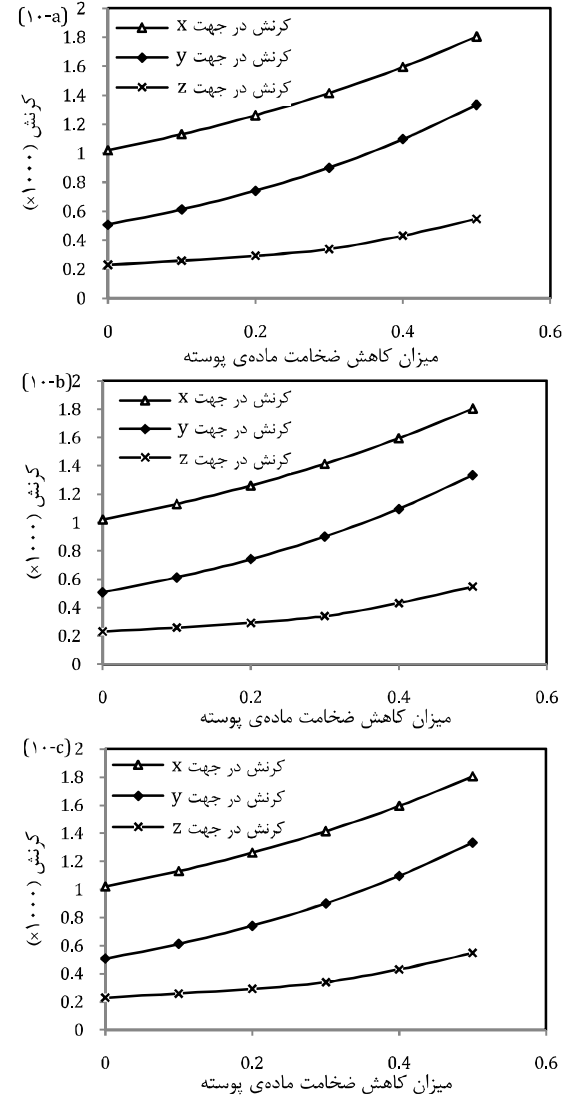
اعمال کرد. با توجه به استاندارد طراحی توربین‌های بادی سایز کوچک [16] ضریب اطمینان برای مواد مورد استفاده برابر $1/1$ و ضریب اطمینان برای بارهای اعمالی برابر $1/35$ می‌باشد. با اعمال این ضرایب اطمینان، ضخامت نهایی قابل قبول برای اجزای مختلف پره می‌تواند برابر 70% ضخامت اولیه آنها انتخاب شود. جدول 6 ضخامت پوسته، اسپار و ریشه در نمونه‌ی اولیه و نهایی را نمایش می‌دهد. جرم پرهی نهایی برابر 42/6 کیلوگرم بوده که نسبت به نمونه‌ی اولیه 17/4 کیلوگرم کاهش داشته است.

5- نتیجه‌گیری و جمع‌بندی

در این پژوهش اثر میدان سیال بر سازه‌ی پرهی یک توربین بادی محور افقی سایز کوچک جهت بررسی اثرات سرعت باد بر تغییر شکل آن و انتخاب جنس و ضخامت اجزای مختلف پره با استفاده از روش شبیه‌سازی عددی صورت گرفت.

جدول 6 ضخامت اجزای مختلف نمونه اولیه و نهایی پره

| اجزای پره | ضخامت نمونه اولیه (mm) | ضخامت نمونه نهایی (mm) |
|-----------|------------------------|------------------------|
| 2/1 | 3 | 1 |
| 2/8 | 4 | 1 |
| 10 | 12 | 1 |



شکل 10 کرنش کششی در پوسته (10-a)، ریشه (b) و اسپار (c) به ازای ضخامت‌های مختلف

- [12] C. T. Sun, B. J. Quinn, J. Tao, Comparative Evaluation of Failure Analysis Methods for Composite Laminates, School of Aeronautics and Astronautics Purdue University, West Lafayette, 1996.
- [13] P. K. Mallick, Fiber-reinforced composites: materials, manufacturing, and design, third ed., Boca Raton: CRC press, 2007.
- [14] D. A. Simms, S. Schreck, M. Hand, L. Fingersh, NREL unsteady aerodynamics experiment in the NASA-Ames wind tunnel: a comparison of predictions to measurements, National Renewable Energy Laboratory Colorado, USA, 2001.
- [15] D.-H. Kim, Y.-H. Kim, Performance prediction of a 5MW wind turbine blade considering aeroelastic effect, World Academy of Science, Engineering and Technology, Vol. 81, pp. 771-775, 2011.
- [16] CEI/IEC, British-Standard, Wind Turbines-Part 2: Design Requirements for Small Wind Turbines, European Committee for Electrotechnical Standardization, 2006.
- [5] C. Järpner, J. Norlin, Fluid structure interaction on wind turbine blades, M.Sc. Thesis, Department of Applied Mechanics, Chalmers University of Technology, Gothenburg, Sweden, 2012.
- [6] D. Ramdenee, A. Ilinca, I. S. Minea, Aeroelasticity of Wind Turbines Blades Using Numerical Simulation: InTech Open Access Publisher, 2012.
- [7] Y.-J. Lee, Y.-T. Jhan, C.-H. Chung, Fluid-structure interaction of FRP wind turbine blades under aerodynamic effect, Composites Part B: Engineering, Vol. 43, No. 5, pp. 2180-2191, 2012.
- [8] A. Jafarian, M. h. Giahi, Numerical Simulation of A Small Size Horizontal Axis Wind Turbine Aerodynamics, in 4th annual clean energy conference, Kerman, Iran, 2014. (In Persian)
- [9] D. C. Wilcox, Turbulence modeling for CFD: DCW industries La Canada, CA, 1998.
- [10] Ansys, Ansys Mechanical APDL and Mechanical Applications Theory Reference: Ansys Inc, 2010.
- [11] R. M. Jones, Mechanics of composite materials, Second ed., Philadelphia, PA: CRC Press, 1998.